

# Физические основы регистрации излучения

Емельянов Эдуард Владимирович

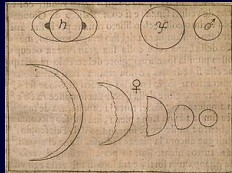
Специальная астрофизическая обсерватория РАН  
Лаборатория обеспечения наблюдений

21 марта 2018 года



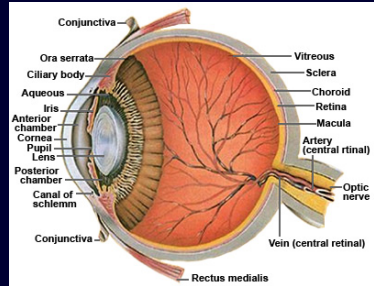
- 1 Человеческий глаз
- 2 Типы детекторов и диапазоны
- 3 Аналоговая регистрация и счет фотонов
- 4 Многоканальные светоприемники
- 5 Примеры детекторов
- 6 Характеристики детекторов

# Человеческий глаз



## Глаз

- Маленькая апертура ( $\leq 8$  мм)
- Низкая чувствительность
- Низкое угловое разрешение ( $> 16''$ , чаще  $1'$ )
- Узкий спектральный диапазон
- Невозможность накопления сигнала
- Малое поле ясного зрения
- Цветочувствительность только при больших интенсивностях



Окончательное значение	16.0
2.0. Глаз	○ * *
3.0. Вид	* * *
3.1. вид	○ * *
3.2. вид	* ○ *
4.0. вид	* ○ **
5.0. вид	** ○ *
6.0. вид	* * +
7.0. вид	* * + *
8.0. вид	* * + ○
9.0. вид	* * + ○ *
10.0. вид	* * + ○ *
11.0. вид	* * ○ *
12.0. вид	+ ○ *
13.0. вид	* + ○ *
14.0. вид	* * + ○ *

Диапазон:  $400 \div 750$  нм (низкая чувствительность в УФ из-за материала хрусталика, защищающего сетчатку).  
Высокочувствительные палочки и менее чувствительные колбочки.

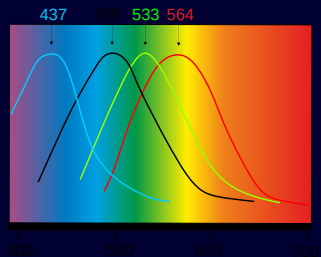
$100 \div 200$  фотонов ( $\lambda = 510 \div 525$  нм) в секунду для палочек!

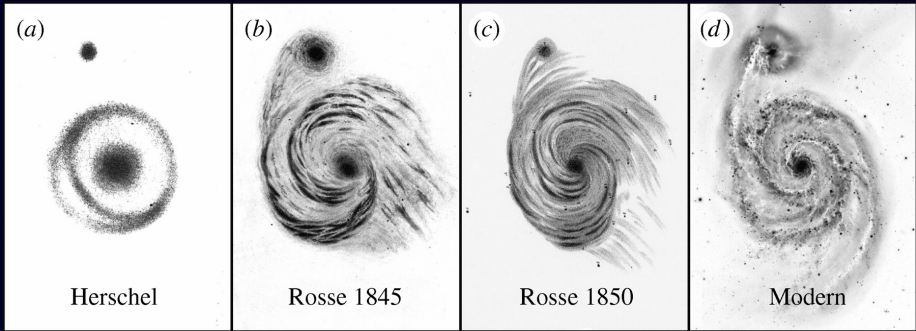
Дальтонизм — схожесть или отсутствие светочувствительных белков.

Трёхсоставную теорию цветового зрения впервые высказал в 1756 году

М.В. Ломоносов. Параллельно существовала оппонентная теория цвета Эвальда Геринга (ее развили Дэвид Хьюбел и Торстен Визел — нобелевская премия 1981 г): в мозг поступает информация о разнице яркости (white-black, G-R, B-Y, Y=R+G).

Бинокулярное зрение — оценка расстояния и размеров.





Зарисовки М51: а) Джон Гершель, 1833; б) и с) Уильям Парсонс (третий граф Росс); д) современное изображение (Canada-France-Hawaii Telescope).

## Регистрируемые формы энергии

- Электромагнитное излучение (от гамма– до радиоволн).
- Космические лучи (субатомные заряженные частицы высоких энергий).
- Нейтрино.
- Гравитационные волны.

## Детектирование

- События (фотоны, частицы) — детекторы частиц, счетчики фотонов
- Создаваемое тепло — болометры
- Волновые характеристики — радиометры
- Энергия — фотопластиинки, ПЗС и т.д.

## Измеряемые параметры

- Направление и время прибытия излучения.
- Интенсивность на разных длинах волн.
- Степень поляризации излучения.
- Фазовые сдвиги между волнами.

# Электромагнитный спектр

Penetrates Earth's Atmosphere?



Radiation Type  
Wavelength (m)

Radio

$10^3$



Microwave

$10^{-2}$



Infrared

$10^{-5}$



Visible

$0.5 \times 10^{-6}$



Ultraviolet

$10^{-8}$



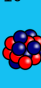
X-ray

$10^{-10}$



Gamma ray

$10^{-12}$



Approximate Scale  
of Wavelength



Buildings



Humans



Butterflies



Needle Point



Protozoans



Molecules



Atoms



Atomic Nuclei

Frequency (Hz)

$10^4$

$10^8$

$10^{12}$

$10^{15}$

$10^{16}$

$10^{18}$

$10^{20}$

Temperature of  
objects at which  
this radiation is the  
most intense  
wavelength emitted



1 K  
-272 °C

100 K  
-173 °C

10,000 K  
9,727 °C

10,000,000 K  
~10,000,000 °C

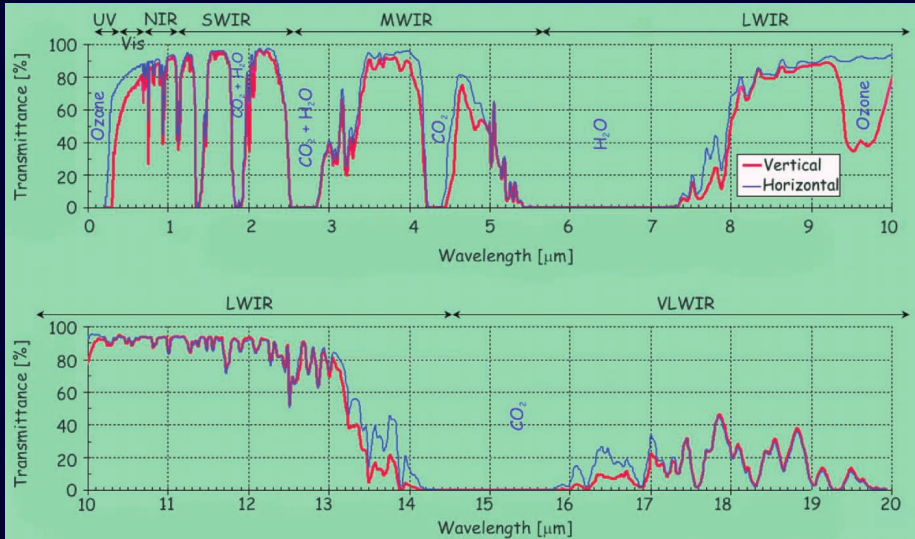
# Источники излучения

Диапазон	$\lambda, \text{ нм}$	$T, \text{ К}$	Тепловые источники	Нетепловые
Гамма	$< 0.01$	$> 10^8$	Термоядерный синтез	ppl, IC, DR
Рентген	0.01–20	$10^6$ – $10^8$	Газ в скоплениях галактик, остатки сверхновых, солнечная корона	IC, SR
УФ	20–400	$10^5$ – $10^6$	Остатки сверхновых, горячие звезды	SR
Видимый	400–700	$10^4$ – $10^5$	Звездные атмосферы, оболочки	SR
ИК	700– $10^6$	$10$ – $10^3$	Холодные облака газа и пыли, планеты, спутники	SR
Радио	$> 10^6$	$< 10$	Темные пылевые облака	SR

ppl – протон-протонные столкновения, IC – обратное комптоновское рассеяние,

DR – тормозное излучение, SR – синхротронное излучение

# Атмосферное пропускание



# Инфракрасный диапазон

1800 — открытие ИК излучения Уильямом Гершелем.

1838 — измерение солнечной постоянной Клодом Пулье ( $1.23 \text{ кВт}/\text{м}^2$ , современное значение  $1.367 \text{ кВт}/\text{м}^2$ ).

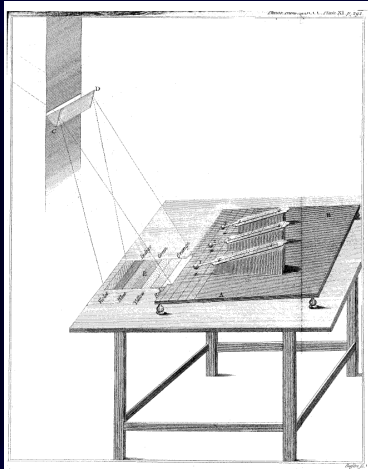
1880 — болометр Лэнгли. 1875 — радиометр Крукса. Термопары.

1957 — открытие свойств халькогенидов.

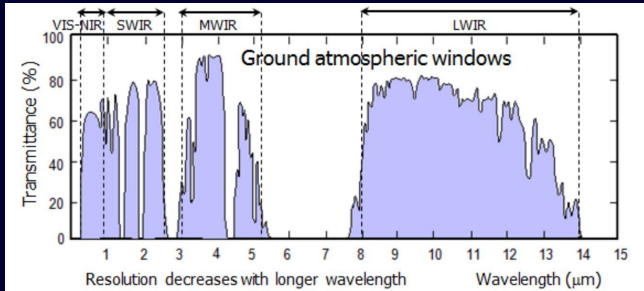
1962 — фотометрическая система Джонсона, измерения фотоэлектрическими ячейками на PbS и InSb.

1970 — IR CCD, матрицы диодов Шоттки.

2000е — различные виды FPA. . .



# Инфракрасный диапазон



## Диапазоны

- 0.75 ÷ 1.4 мкм — ближний ИК, ПЗС;
- 1.4 ÷ 3 мкм — коротковолновый ИК, HgCdTe (до 2.54 мкм), InSb (до 5.4 мкм);
- 3 ÷ 8 мкм — средний ИК, Si:As (5 ÷ 28 мкм);
- 8 ÷ 15 мкм — длинноволновый ИК, Si:As;
- 15 ÷ 1000 мкм — дальний ИК и субмиллиметровый диапазон.

# Инфракрасный диапазон

## Телескопы

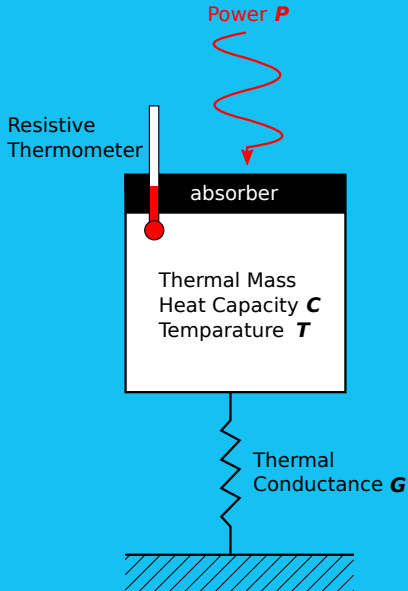
Наземные: **VISTA** (4.1 м), UKIRT (3.8 м), IRTF (3 м), и др.

На борту самолета: **SOFIA** (2.5 м).

Космические: JWST (6.5 м, в планах), **Herschel** (3.5 м), Spitzer (0.85 м) и др.

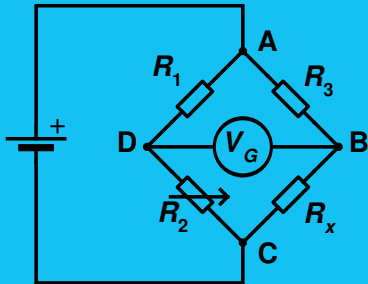


# Болометр



1878 г. Сэмюэль Лэнгли изобрел болометр: две платиновые полоски, зачерненные ламповой сажей, включенные по схеме моста Уитсона и подключенные к чувствительному гальванометру.  
Болометр Лэнгли чувствовал корову за милю!  
Расширение диапазона до ИК.

# Болометр



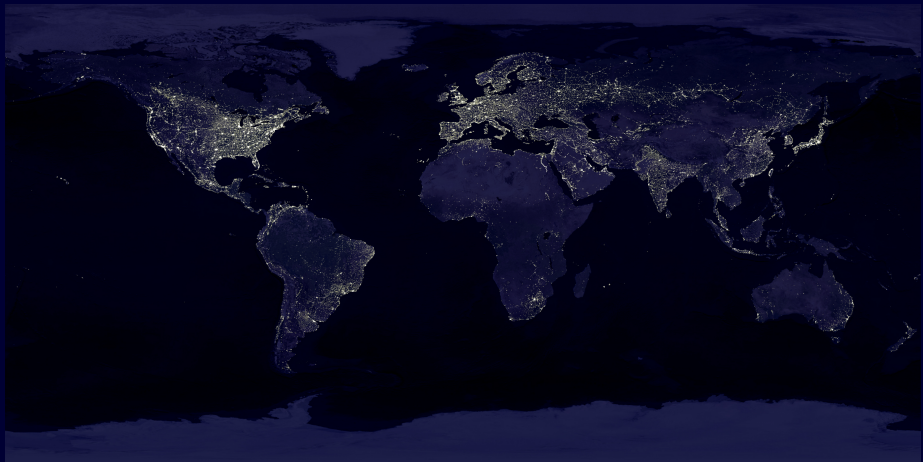
Мост Уитстона:  $\frac{R_2}{R_1} = \frac{R_x}{R_3} \Rightarrow R_x = \frac{R_2}{R_1} R_3$ .

$$V_G = \left( \frac{R_2}{R_1 + R_2} - \frac{R_x}{R_x + R_3} \right) V_s$$

$\frac{R_x}{R_3} = \frac{V_s - 2V_G}{V_s + 2V_G}$  — если  $V_s = 10$  В, то при  $V_G = 1$  мВ относительное изменение сопротивления составит  $4 \cdot 10^{-4}$ .  
 $R_3$  и  $R_x$  — зачерненные платиновые полоски.  
Точность измерений — до  $10^{-5}^\circ\text{C}$ .

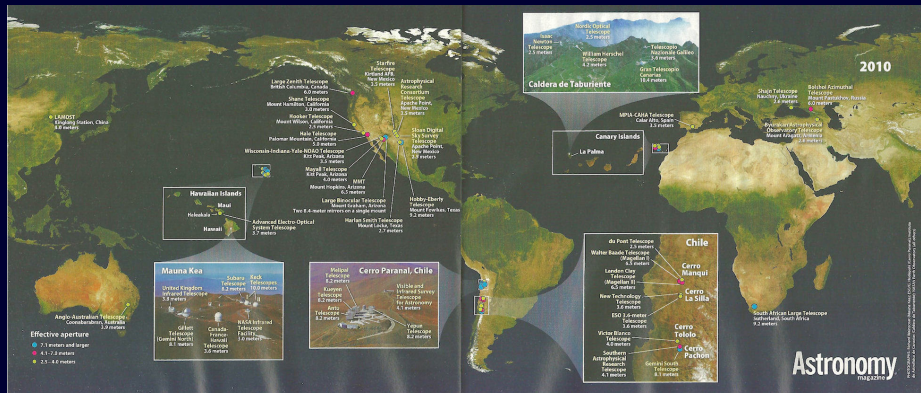
# Оптический диапазон

Световое загрязнение



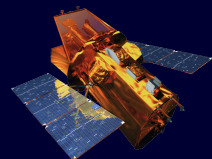
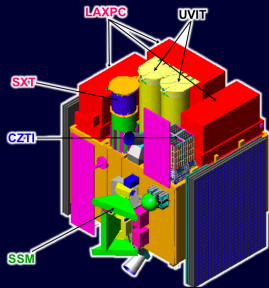
## Оптический диапазон

## Расположение



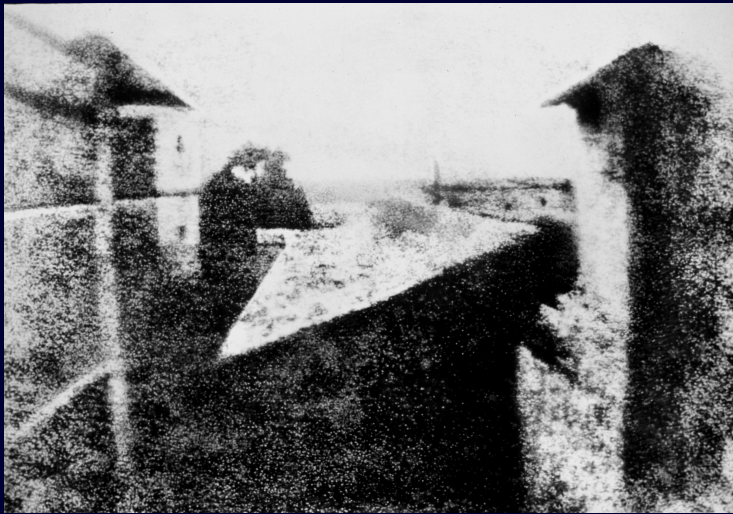
# Ультрафиолетовый диапазон

Только космические телескопы: UVIT на Astrosat (40 см), HST (2.4 м), UVOT на SWIFT (30 см) и многие другие.



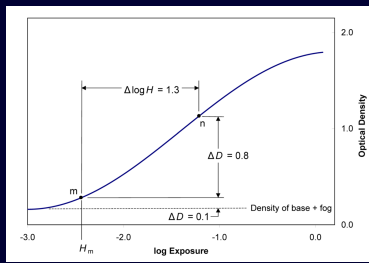
# Фотографические пластиинки

1826, Нисефор Ньепс, гелиография (полимеризация битума).



# Фотографические пластиинки

- Большой формат
- Очень низкая эффективность ( $< 1\%$ )
- Сложность перевода в цифровую форму
- Нелинейность, сложность калибровки



Andrew Ainslie Common, 1883 г. — туманность Ориона.

# Фотографические пластиинки

## “Harvard Computers” (Pickering’s Harem)

Edward Charles Pickering, 1881. Привлечение женщин для обработки растущей коллекции фотопластинок Гарвардской обсерватории. The Henry Draper Catalogue. Обнаружение переменных звезд, изучение спектров, классификация галактик.



Annie Jump Cannon, 1896.

# Фотоэффект

## Внешний фотоэффект

$$h\nu = A + \frac{mv^2}{2}$$

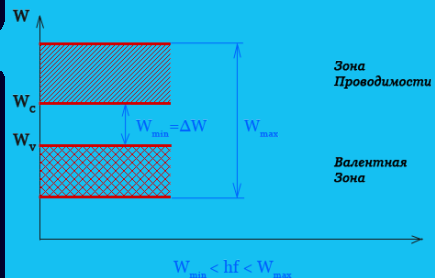
## Внутренний фотоэффект

$W_{min}$  — ширина запрещенной зоны.

$W_{max}$  — энергия выхода.

Фотон с требуемой энергией формирует электронно-дырочную пару. Примеси позволяют уменьшить красный предел (электрон находится в запрещенной зоне).

Фоторезисторы.



# Фотоэффект

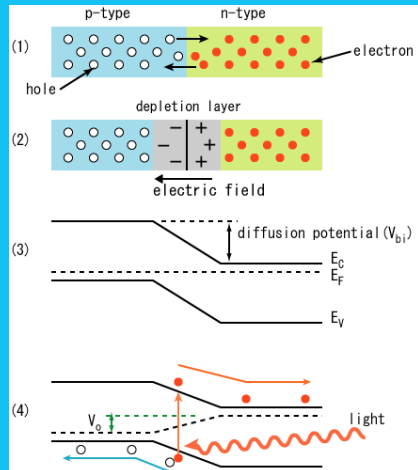
## Фотовольтаический (фотогальванический) эффект

Напрямую связан с фотоэлектрическим эффектом. Режимы:

фотогальванический (без внешнего напряжения) и фотопроводимости (обратное смещение).

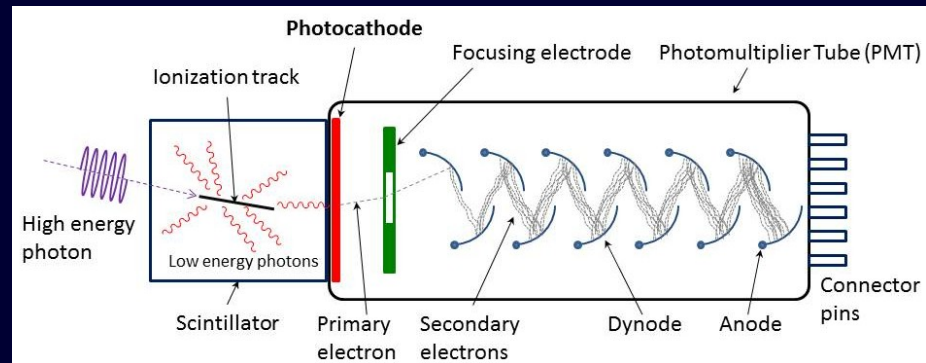
Генерируемая в обедненной области пара разрывается потенциалом Гальвани. Происходит накопление заряда.

Фотодиоды, ПЗС, CMOS.



# Ускорение и размножение электронов

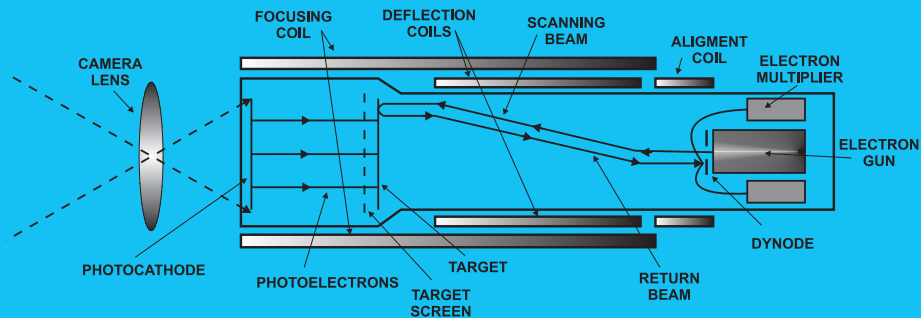
1940-е годы. Счет фотонов. Большие — потому одноканальные.



# ЭЛТ

1964, E. Luedicke, A. D. Cope, and L. E. Flory. Astronomical Image-Integration System Using a Television Camera Tube.

На  $3^m \div 4^m$  чувствительнее фотопластиноок.



# ЭОП

Первую конструкцию ЭОП предложили в 1928 г. изобретатели из компании Philips.

Первое поколение — каскады ФЭУ.

Второе — микроканальная технология (уменьшение паразитной засветки).

Третье — фотокатоды на арсениде галлия (больше усиление, меньше размеры).

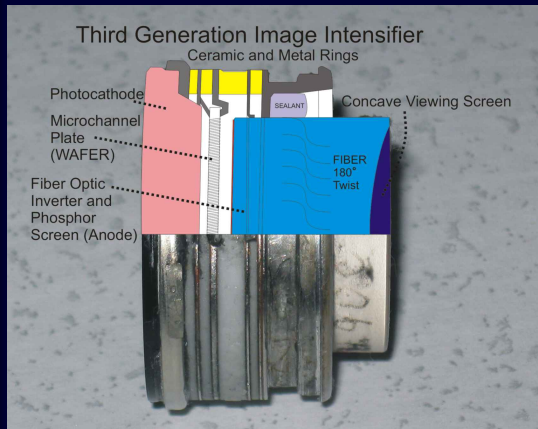
Четвертое (2014 г!) —

чувствительность

$400 \div 1000$  нм, лучшее

качество изображения,

уменьшение размеров.



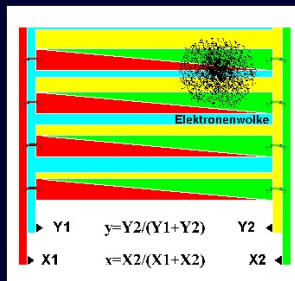
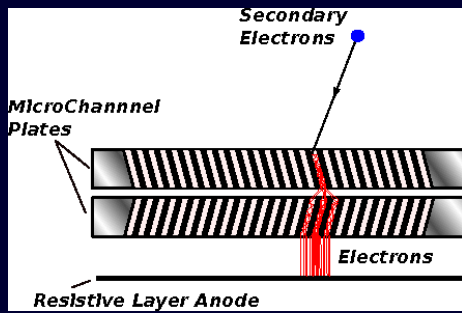
# МКП + КПА

Конец 1970-х — микроканальные пластины.

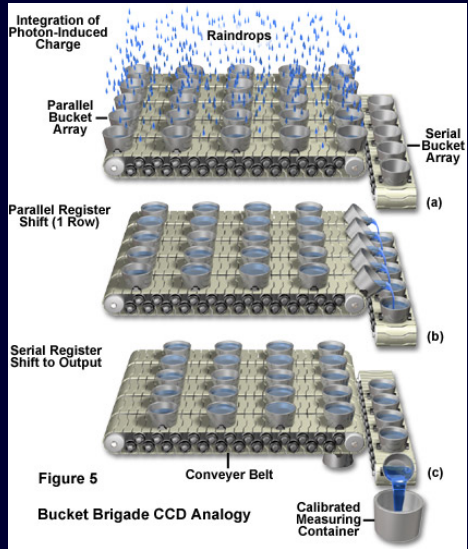
1979, Lampton, M. and Carlson. C; 1982, Firmani, C. et. al.

1983, Siegmund, O.H.W. et al. "Application of the wedge and strip anode to position sensing with microchannel plates and proportional counters".

1986, Siegmund, O.H.W. et al. "Wedge and strip image readout systems for photon-counting detectors in space astronomy".



# ПЗС



1969, Уиллард Бойл и Джордж Смит, лаборатории Белла.

1975 — первая ПЗС 100x100 (Steven Sasson, Kodak).

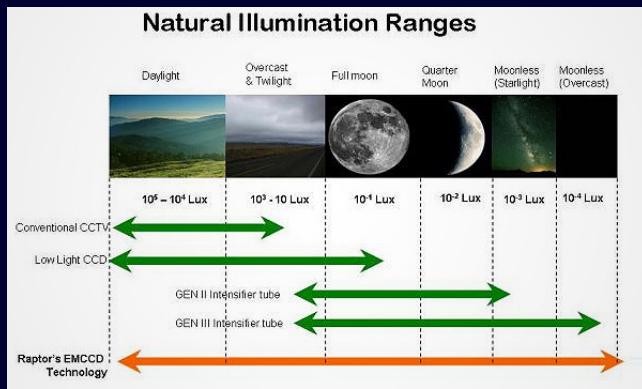
1976 — запуск спутника-шпиона с ПЗС 800x800.

# Электронное умножение на кремнии

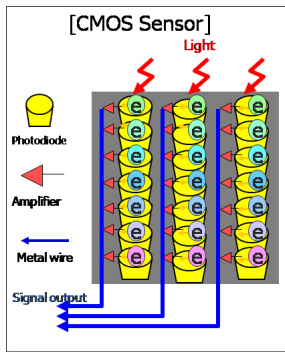
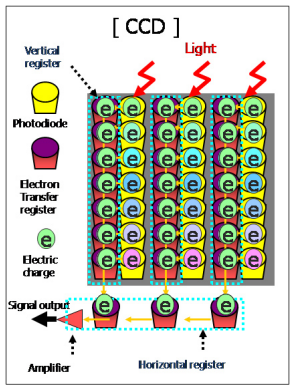
## Лавинные фотодиоды и EMCCD

Лавинный фотодиод — ударная ионизация при больших напряжениях смещения. (лавинные стабилитроны).

Electron-Multiplying CCD содержат «регистр умножения» (аналогия с лавинным диодом). Неопределенность уровня усиления — предпочтительна работа с одиночными фотонами (короткие экспозиции).

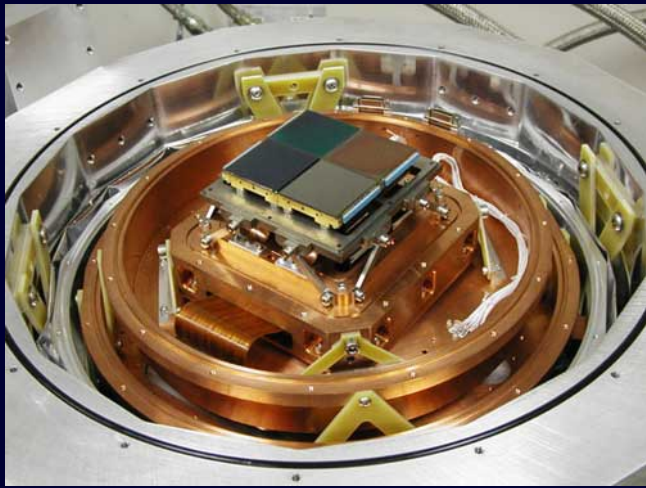


# КМОП



Конец 1980-х —  
«активно-пиксельные  
датчики».  
Недеструктивное  
считывание,  
произвольный доступ.  
Но низкая квантовая  
эффективность.  
ИК-детекторы на  
HgCdTe

# КМОП



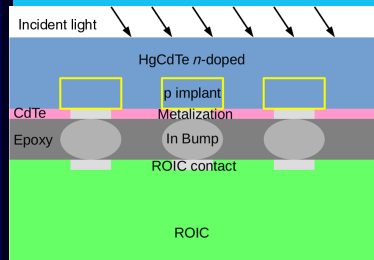
Конец 1980-х —  
«активно-пиксельные  
датчики».  
Недеструктивное  
считывание,  
произвольный доступ.  
Но низкая квантовая  
эффективность.  
ИК-детекторы на  
 $HgCdTe$

# Гибридные матрицы (Focal Plane Array)

В n-канальном полупроводнике легируются p-канальные площадки — пиксели.

Каждый пиксель является конденсатором, накапливающим фотогальванические дырки, либо же конденсаторы легируются в ROIC.

Толщина полупроводника: слишком маленькая — прозрачная для фотонов, слишком большая — рекомбинация пар в процессе экспозиции. Обычно около 10 мкм.  
Просветляющее покрытие.



# Гибридные матрицы (Focal Plane Array)

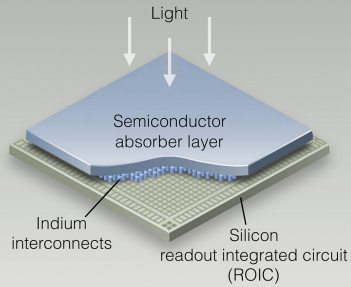
На силиконе —читывающая схема (ReadOut Integrated Circuit).

Регистрирующая структура прижимается к считающей.

Контакт посредством индиевых шариков (мягкий металл даже при криогенных температурах).

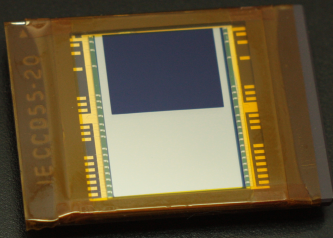
Индивидуальная цепь считывания для каждого пикселя.

Независимая адресация, недеструктивное считывание. Отсутствие растекания заряда, как в ПЗС. «Плохие» пиксели не влияют на окружение!





Слоановский обзор SDSS, 30 ПЗС  
2048x2048 в сканирующем режиме.



ПЗС с переносом заряда позволяют уменьшить воздействие посторонней засветки во время считывания.

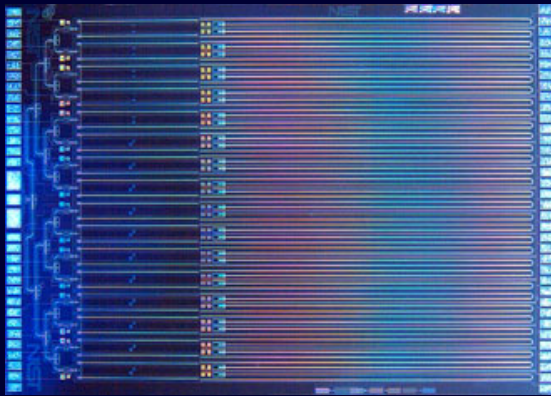
# STJ, TES — измерение энергии фотона

## STJ

Два сверхпроводника, разделенных тонким изолятором.

Алюминий (1.2К), ниобий (4.2К).

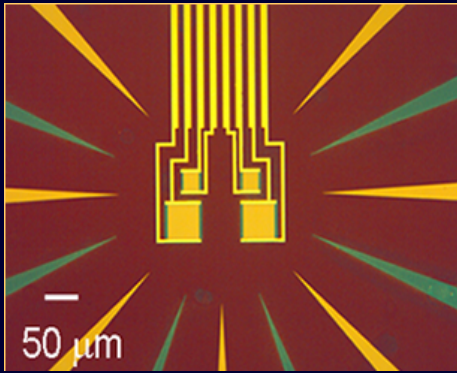
100..1000ГГц — радиоастрономия. Счетчик фотонов в широком диапазоне.



# STJ, TES — измерение энергии фотона

## TES

Transition-edge sensor — криогенный датчик, в основе работы которого используется зависимость сопротивления на границе фазового перехода в сверхпроводящее состояние.



arXiv:astro-ph/9705165, 1997

The Orthogonal Transfer CCD позволяет переносить заряд в любом из четырех направлений. Отслеживание атмосферных наклонов волнового фронта с частотой до 100 Гц. Проще tip-tilt систем.

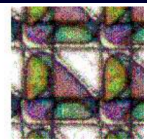
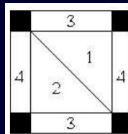
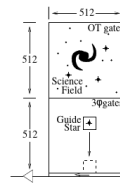


Fig. 1.— On the left is a schematic of how the four gates of an OTCCD are organized. On the right is a photomicrograph of an OTCCD pixel. In this device gate #1 is aluminum and therefore appears bright.



1. Open shutter
2. Integrate 10-100 msec
3. Read out guide star patch
4. Centroid guide star
5. Apply shift to OT image
6. Exposure done?  
No... then go to 2.
7. Yes. Close shutter
8. Read out entire 512 x 1024.

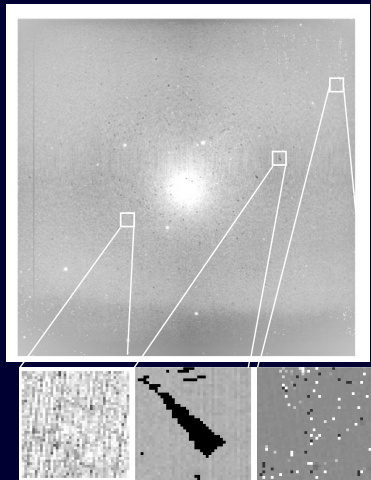
Fig. 2.— The OTCCD is used to track image motion by placing the science field on the portion of the CCD with OT gates and a guide star on the frame-store portion of the CCD. A subarray containing the star image is rapidly read out and used to correct the position of the charge within the OT array to follow the motion of the science field.

# Обработка снимков

## Последовательность обработки

- 1 Тёмновые, «плоские поля», bias'ы.
- 2 Медианное усреднение снимков неба.
- 3 Вычитание из рабочих кадров тёмновых.
- 4 Вычитание неба из снимков объекта.
- 5 Деление результата на плоское поле.
- 6 Обработка результата.

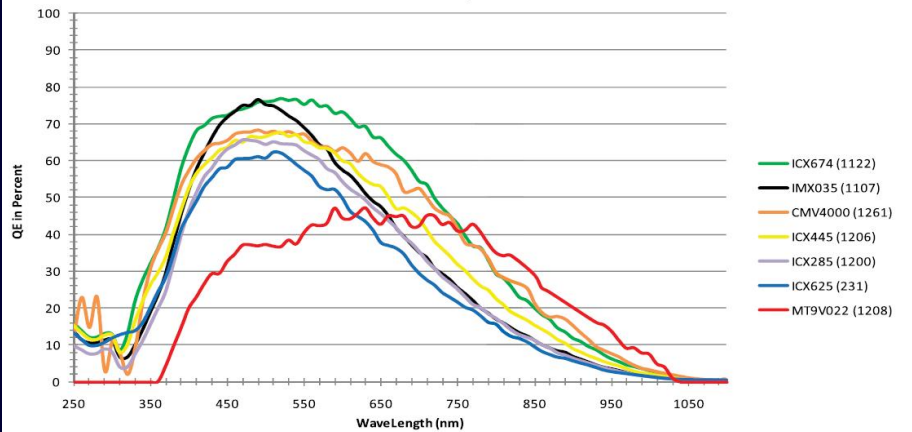
Переполненные поля требуют больших перемещений телескопа для формирования изображения неба.



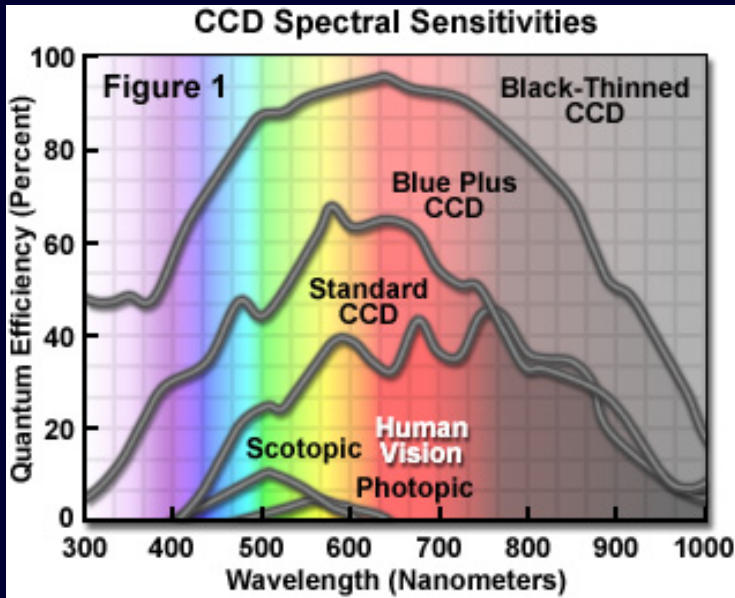
# Квантовая эффективность ПЗС

QE — отношение количества падающих фотонов к детектируемым.

Sensor QE Comparison

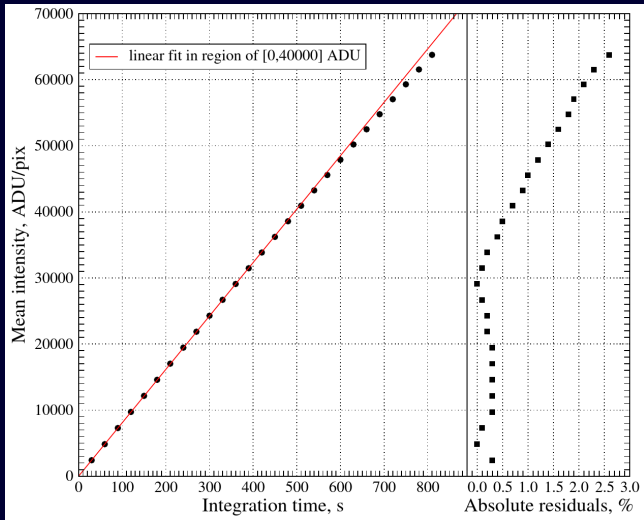


# Квантовая эффективность ПЗС



# Линейность

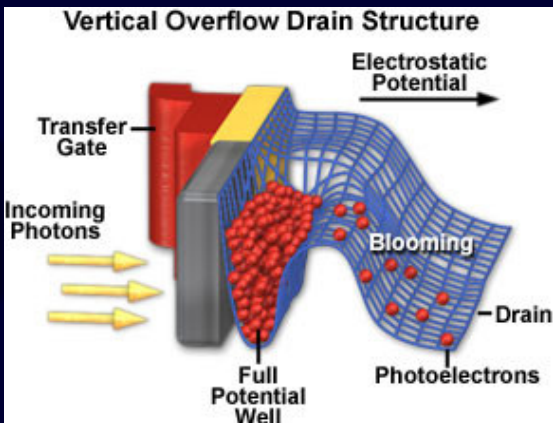
Линейность ПЗС-камеры Apogee Alta 16M-HC (Kodak KAF-16803).



$\pm 0.5\% (2000 \div 40000 \text{ ADU}) \pm 1.0\% (0 \div 45000 \text{ ADU})$ .

# Динамический диапазон

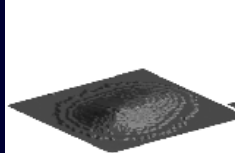
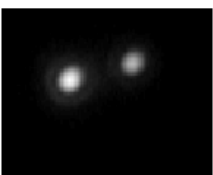
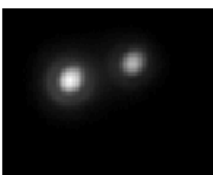
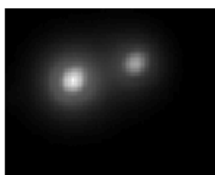
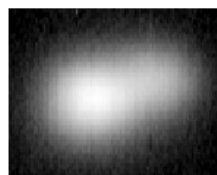
Максимальный размах  
уровней сигнала, при котором  
он регистрируется без потерь.  
Идеал — бесконечный  
динамический диапазон.



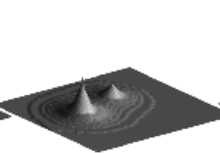
# Временное разрешение

Характерное время изменения состояния светоприемника, определяющее предельные экспозиции.

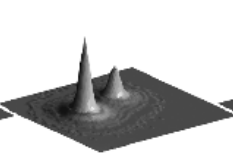
Потери времени на считывание и сохранение.



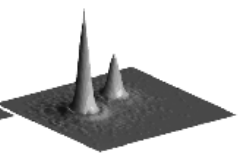
(a) Long exposure.



(b)  $FSR=100\%$ .



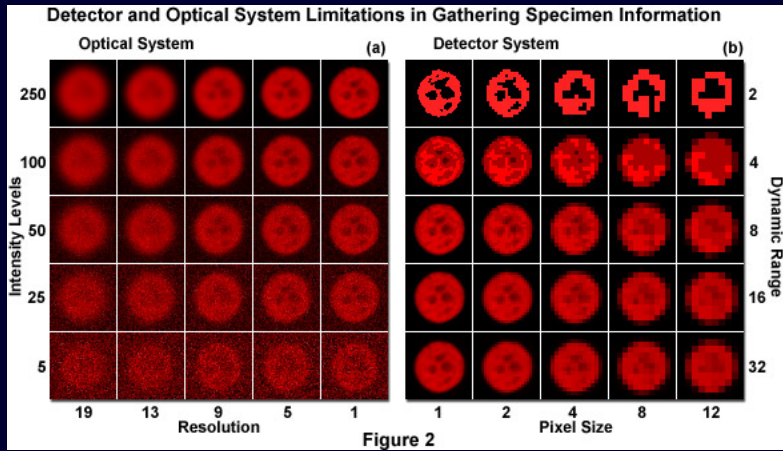
(c)  $FSR=10\%$ .



(d)  $FSR=1\%$ .

# Пространственное разрешение

Степень детализации изображения зависит от условий наблюдения, оптики телескопа и прибора, размера пикселя.



# Выбор светоприемника под масштаб

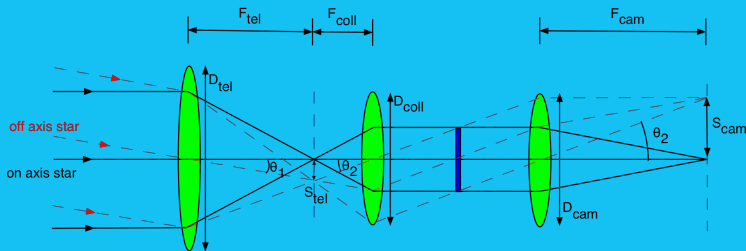
## Масштаб изображения

$$5a \geq \Delta x \geq 2a, \quad S_{tel} = \frac{F_{tel}}{206265}$$

БТА:  $1/S = 8.6''/\text{мм}$ ,  $\Delta x_{1''} = 116.36 \text{ мкм}$

$a_{opt} = 23.3 \text{ мкм}$ . Нужен редуктор  $\sim 2.5$  раз!

$$m = \frac{S_{cam}}{S_{tel}} = \frac{F_{cam}}{F_{coll}} < 1$$



Telescope  
Primary

Focal  
Plane

Collimator

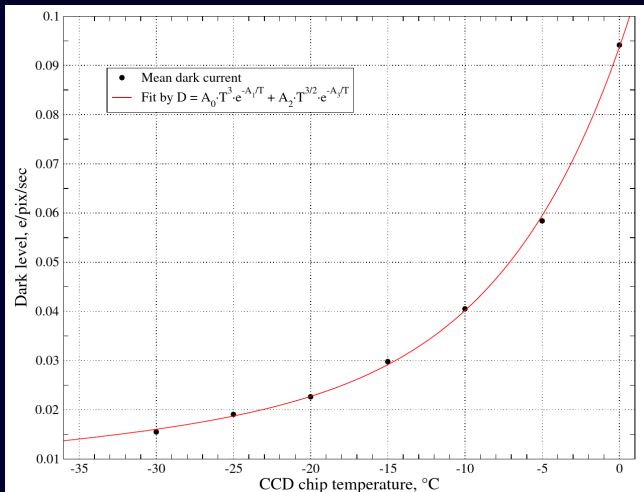
Filter

Camera  
Lens

Camera  
Focal  
Plane

# Шумы

Выходной сигнал всегда отличается от входного: пуассонова статистика фотонов, фон неба, тепловой (темновой) шум, космические частицы, шум считывания и т.п. Мультипликативный и аддитивный шумы.



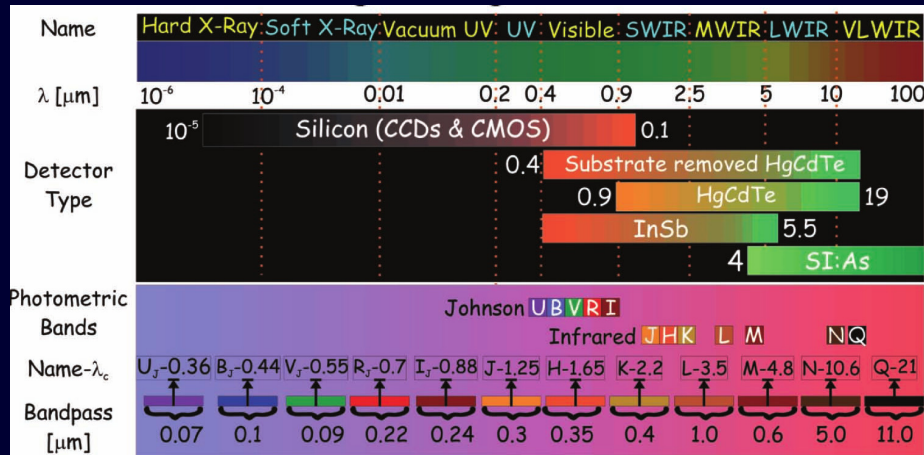
# Характеристики детекторов

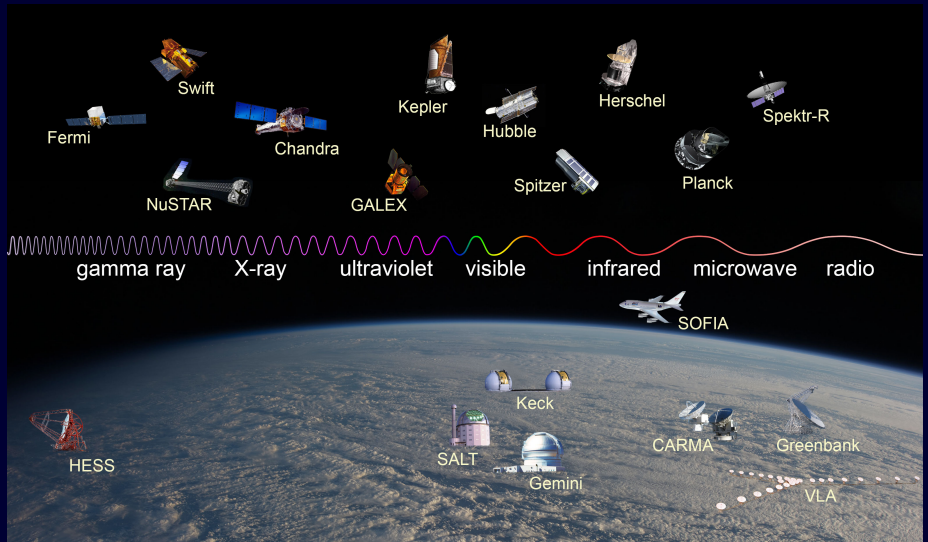
Размер, количество пикселей (каналов), чувствительность в зависимости от длины волны (квантовая эффективность) и доступный спектральный диапазон, динамический диапазон, линейность, накопление сигнала, временнное разрешение, шумовые характеристики, стабильность, цена.

## Эволюция детекторов

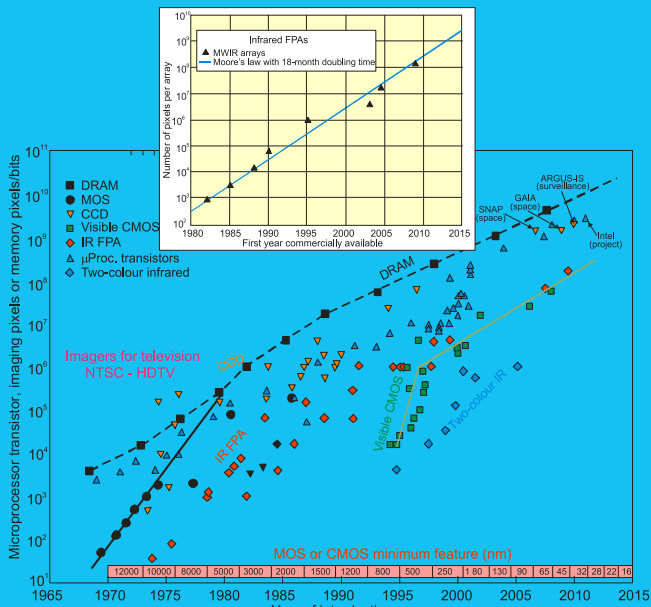
Историческая эволюция: глаз  $\Rightarrow$  фотопластинка  $\Rightarrow$  одноканальные фотоэлектрические приемники  $\Rightarrow$  сканеры фотопластинок  $\Rightarrow$  телевизионные сканеры  $\Rightarrow$  полупроводниковые устройства (фотодиоды, ПЗС, композитные ИК приемники, болометры, лавинные фотодиоды, КМОП)  $\Rightarrow$  устройства, измеряющие энергию фотона (STJ — на сверхпроводящих туннельных переходах, transition-edge sensor — повышение сопротивления сверхпроводящего перехода).

# Типы подложек светоприемников





# Закон Мура



Удвоение числа транзисторов на ИС каждые 2 года.

Емельянов Э.В. (CAO РАН)

Физические основы регистрации излучения

21 марта 2018 года

# Спасибо за внимание!

[mailto](mailto:)

[eddy@sao.ru](mailto:eddy@sao.ru)

[edward.emelianoff@gmail.com](mailto:edward.emelianoff@gmail.com)

## Анатомия глаза

Cornea – роговица, первая «линза».

Pupil – зрачок, диафрагма (iris).

Lens – зрачок, вторая «линза».

Ciliary body – цилиарное тело.

Vitreous body – стекловидное тело, третья «линза».

Choroid – сосудистая оболочка.

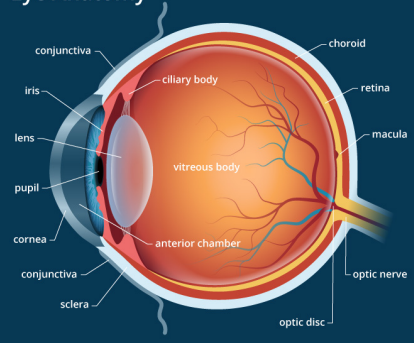
Retina – сетчатка.

Macula – центральная ямка.

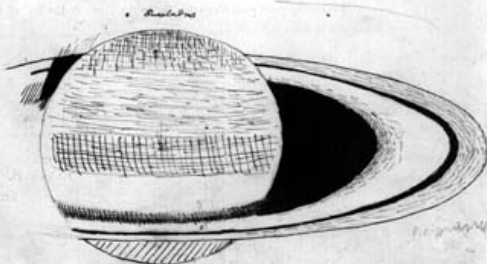
$6 \div 7$  млн колбочек,  $\sim 120$  млн палочек.

Мозг «переворачивает» и «дорисовывает» изображение.

## Eye Anatomy



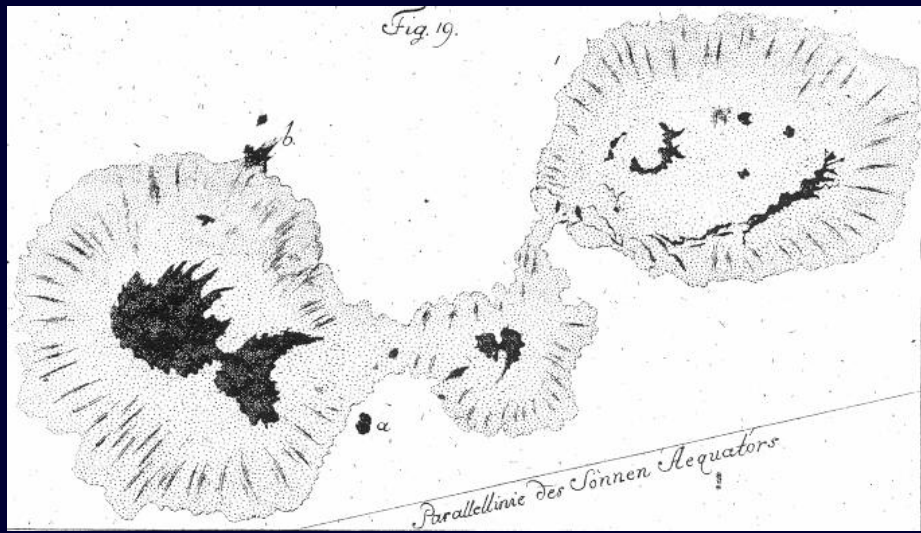
Saturn with 20 foot telescope 10 Sept. 1831  
powers 430 614 863



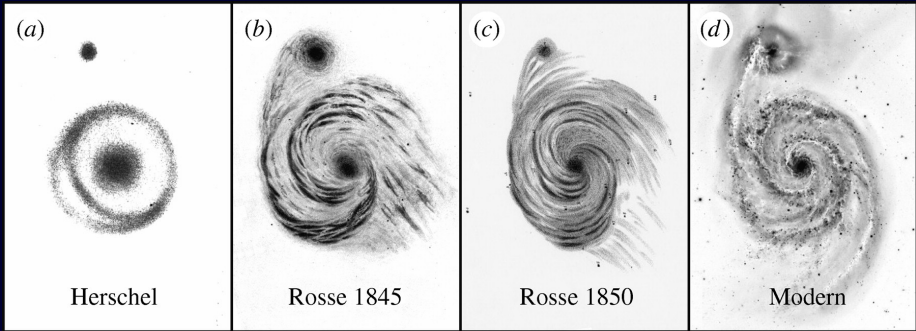
Meridian when it disappeared was near over the preceding end of November 1838

Зарисовка Сатурна Уильямом Ласселлом (1799–1880).

Fig. 19.



Солнечные пятна (1785–1795). Hieronymus Schroeter (1745–1816).



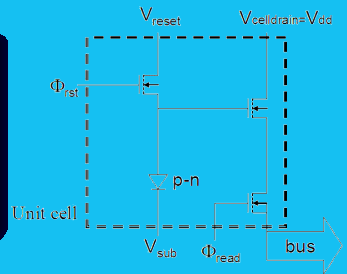
Зарисовки М51: а) Джон Гершель, 1833; б) и с) Уильям Парсонс (третий граф Росс); д) современное изображение (Canada-France-Hawaii Telescope).

# Гибридные матрицы (Focal Plane Array)

$V_{reset}$  — уровень смещения (bias),  $V_{read} \propto q$ .

Усилитель на МОП позволяет практически свести к нулю утечки при недеструктивном считывании.

$\Phi_{read}$  подается через элемент «2И» на двух МОП (адресация столбца и строки).



# Гибридные матрицы (Focal Plane Array)

Hawaii HgCdTe 1024x1024.

Пиксель 18.5 мкм.

Gain 5.4 e/ADU.

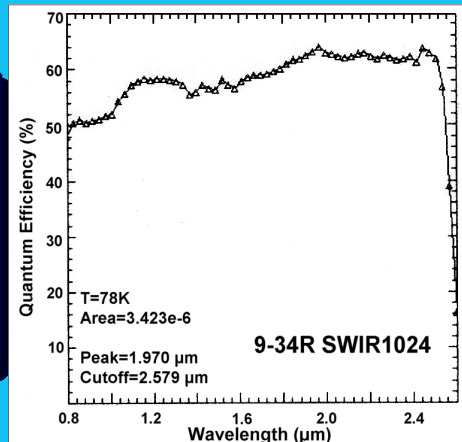
RON 2.1 ADU.

Около 10000 плохих пикселей.

Нелинейность меньше 1.5% от 0 до 10000 ADU.

Темновой ток при T=78 K меньше

0.1 e/s.



<https://www.eso.org/sci/facilities/lasilla/instruments/sofi/inst/HawaiiDetector.html>

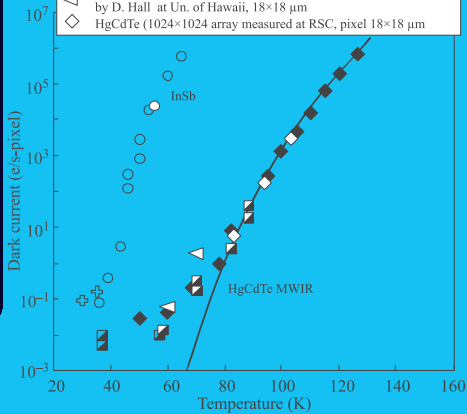
# Гибридные матрицы (Focal Plane Array)

Высокий шум InSb при  $T > 60$  K определяется большим уровнем генерационно-рекомбинационных токов.

У HgCdTe в этом диапазоне г-р токи практически нулевые, шум определяется в основном диффузными токами.

$$T_{max} = \frac{200\text{ }K}{\lambda_c\text{ }\mu\text{m}}$$

- HgCdTe [1024×1024 array measured by D. Hall et al., *Proc. SPIE 4008*, 1268 (2000), pixel size 18×18 μm]
- HgCdTe (theory of diffusion limit,  $x = 0.30$ )
- ◆ HgCdTe (1024×1024 per chip)
- + InSb (1024×1024 Aladdin III) K. Ando et all., *Proc. SPIE 4008*, 1254 (2000), pixel size 27×27 μm
- InSb 256×256, G. Finger et all., *Proc. SPIE 3354*, 87 (1998)
- △ HgCdTe (1024×1024 array with substrate removed and measured by D. Hall at Un. of Hawaii, 18×18 μm)
- ◇ HgCdTe (1024×1024 array measured at RSC, pixel 18×18 μm)



OPTO-ELECTRONICS REVIEW 20 (3), 279–308.

# ПЗС, итоги

- Для повышения эффективности толщина рабочего слоя ПЗС должна быть не больше подложки n-типа, back-illuminated. Усложнение техпроцесса, удорожание.
- Глубокое охлаждение чипа: при  $-80^{\circ}\text{C}$  с ростом температуры на  $\sim 7^{\circ}\text{C}$  темновой шум увеличивается в два раза.
- Кремниевая подложка имеет красную границу на  $\sim 1.1\text{ мкм}$ , в ИК светоприемники с кремниевыми подложками не будут работать.
- Утончение чипа приводит к росту прозрачности для больших длин волн и появлению фрингов.
- Большой проблемой является растекание заряда с переэкспонированных пикселей.
- ПЗС невозможно оснастить «электронным» затвором, их затвор механический.
- Дефекты подложки приводят к появлению «горячих» и «плохих» пикселей.
- Постоянное воздействие космических частиц вызывает необратимую деградацию.

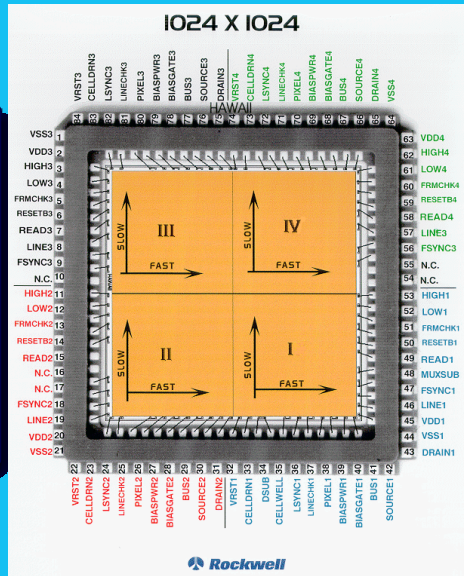
# CMOS, итоги

Сканирование производится построчно.

«Медленная» шина — строки (Y).  
«Быстрая» — столбцы (X).

Тактирование сдвигового регистра X поочередно адресует пиксели в строке. Подключение сброса: индивидуально, построчно или глобально.

Если считывание не завершается сбросом, накопление продолжается — недеструктивное считывание.



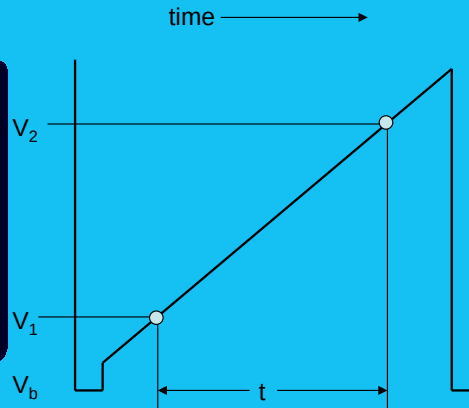
# CMOS, итоги

## Двойная коррелированная выборка

$V_b$  — начальный уровень смещения.  
 $V_1$  — уровень при считывании сразу после сброса.

$V_2$  — считывание в конце экспозиции.

$V_2 - V_1$  — двойная коррелированная выборка.



# CMOS, итоги

## Недеструктивное считывание

Fowler (F) and Follow-Up-the-Ramp (FUR, отслеживание наклона) sampling.

$$\text{SNR}_{FUR} = \text{SNR}_{DC} \sqrt{\frac{n(n+1)}{6(n-1)}}.$$

Для  $n \gg 1$

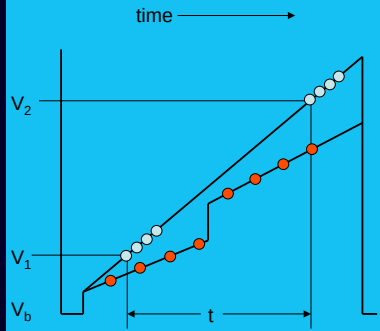
$t = nT_{read}$ :

$$\text{SNR}_F = \text{SNR}_{DC} \sqrt{n/8} \approx \text{SNR}_{FUR} \sqrt{6/8}$$

$t \gg nT_{read}$ :

$$\text{SNR}_F = \text{SNR}_{DC} \sqrt{n/2} \approx \text{SNR}_{FUR} \sqrt{3}!$$

Однако, FUR более применим в космосе:  
восстановление изображений,  
поврежденных космикой!



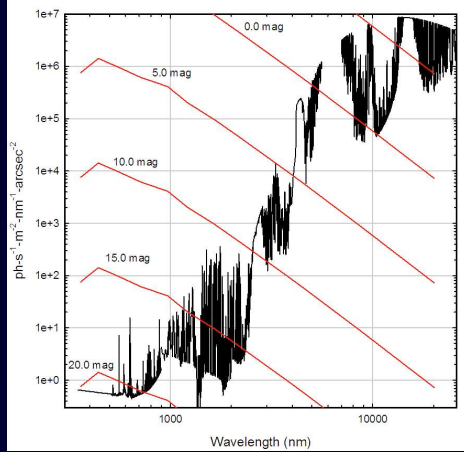
# Обработка снимков

## Яркость неба

Высокий уровень шумов от самого телескопа.

В дальнем ИК небо ярче объектов!  
Фон неба зависит от положения объекта.

«Nodding» — небольшие  
перемещения телескопа между  
экспозициями для получения  
снимков неба.

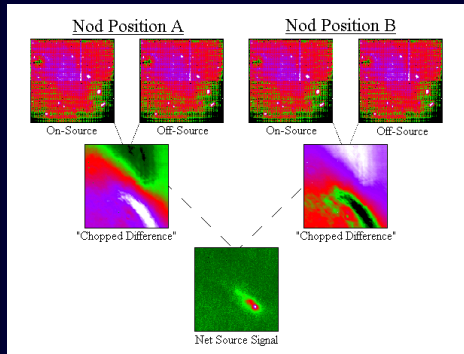


# Обработка снимков

## Mid IR: Chopping + Nodding

В среднем ИК фон неба быстро меняется. Экспозиции — не более 50 мс!

- 1 «Chopping»  $\Rightarrow \text{on}_i/\text{off}_i.$
- 2  $i=xxxxx$   
 $\sum_{i=0} \Rightarrow \text{On}^1\text{-Off}^1.$
- 3 «Nodding», repeat  $\Rightarrow \text{On}^2\text{-Off}^2.$
- 4 Sky= $\text{On}^1\text{-Off}^1+\text{On}^2\text{-Off}^2.$
- 5 Accumulated= $\text{On}^1\text{-Off}^1-(\text{On}^2\text{-Off}^2).$
- 6 Совмещение  $\Rightarrow \text{Shift+add}.$



# Обработка снимков

## Mid IR: Chopping + Nodding

В среднем ИК фон неба быстро меняется. Экспозиции — не более 50 мс!

- ① «Chopping»  $\Rightarrow \text{on}_i/\text{off}_i.$
- ②  $i=xxxxx$   
 $\sum_{i=0} \Rightarrow \text{On}^1\text{-Off}^1.$
- ③ «Nodding», repeat  $\Rightarrow \text{On}^2\text{-Off}^2.$
- ④ Sky= $\text{On}^1\text{-Off}^1 + \text{On}^2\text{-Off}^2.$
- ⑤ Accumulated= $\text{On}^1\text{-Off}^1 - (\text{On}^2\text{-Off}^2).$
- ⑥ Совмещение  $\Rightarrow \text{Shift+add}.$

